

Freeze-In Production of sterile Neutrino Dark Matter

Carlo Tasillo

16. Juli 2018

Theoretische Physik III
Fakultät für Physik

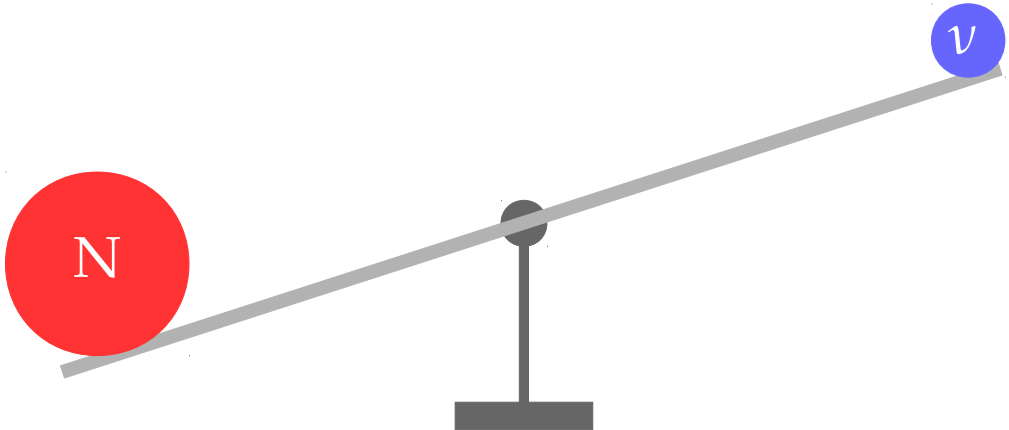
Probleme in Kosmologie und Teilchenphysik

- Kosmologie & Astrophysik
 - Dunkle Materie

- Teilchenphysik
 - Neutrinomassen

Können beide Probleme gleichzeitig gelöst werden?

Der Seesaw-Mechanismus. Eine mögliche Lösung?



Benötigter physikalischer Hintergrund

- Kosmologie
- Thermodynamik
- Neutrinomassen
- Die Boltzmann-Gleichung
- Freeze-In und Freeze-Out

Kosmologie

Isotropie und Homogenität \rightsquigarrow die Friedmann-Gleichungen

Die Friedmann-Gleichungen

$$\frac{\dot{a}(t)^2}{a(t)^2} = \frac{8\pi G}{3}\rho - \frac{\kappa}{a(t)^2} \quad (1)$$

$$\frac{\ddot{a}(t)}{a(t)} = -\frac{4\pi G}{3}(\rho + 3p) \quad (2)$$

$a(t)$ Skalenfaktor, κ Krümmungsparameter, ρ Energiedichte, p Druck, G Gravitationskonstante

Kosmologie

- „Urknall“: Universum war zu Beginn heiß und dicht
- Hubble-Parameter während Strahlungsdominanz:

$$H(t) \equiv \frac{\dot{a}}{a} = \frac{1}{2t} \quad (3)$$

- Anteil einer Energiedichte ρ_i an der Energiedichte des Universums:

$$\Omega_i \equiv \frac{\rho_i}{\rho_{\text{crit}}} \quad (4)$$

mit

$$\rho_{\text{crit}} \equiv \frac{3H^2}{8\pi G} \quad (5)$$

Thermodynamik

- Energiedichte für alle relativistischen Teilchen, die sich im thermodynamischen Gleichgewicht befinden

$$\rho_{\text{tot}}^{\text{R, eq}} = \frac{\pi^2}{30} g_{\text{eff}}(T) T^4 \quad (6)$$

mit

$$g_{\text{eff}}(T) = \sum_{i=\text{Bosonen}} g_i \left(\frac{T_i}{T}\right)^4 + \frac{7}{8} \sum_{i=\text{Fermionen}} g_i \left(\frac{T_i}{T}\right)^4 \quad (7)$$

- Entropiedichte des Universums

$$s = \frac{2\pi^2}{45} g_{\text{eff}, s}(T) T^3 \quad (8)$$

Neutrinomassen

- Erzeugung von Fermion-Massen im SM normalerweise durch Higgs-Mechanismus
 - Links- und rechtshändige Teilchen benötigt
 - Bisher keine rechtshändigen Neutrinos entdeckt $\Rightarrow m_\nu \stackrel{\text{SM}}{=} 0$



Quelle: Deutschlandfunk

- Nobelpreis 2015: $\Delta m_\nu \neq 0$

Neutrinomassen: Der Seesaw-Mechanismus

Führe ein rechtshändiges Neutrino ν_R ein. Für den Neutrinomassenterm folgt

$$-\frac{1}{2} (\bar{\nu}_L \quad \bar{\nu}_R^c) \begin{pmatrix} 0 & m_{LR} \\ m_{LR} & M_{RR} \end{pmatrix} \begin{pmatrix} \nu_L^c \\ \nu_R \end{pmatrix} + h.c. \quad (9)$$

Masseneigenwerte (für $m_{LR} \ll M_{RR}$)

$$m_N = M_{RR} \quad (10)$$

$$m_\nu = \frac{m_{LR}^2}{M_{RR}} = \frac{y^2 v^2}{m_N} \quad (11)$$

Die Boltzmann-Gleichung

- Beschreibt Änderung der Teilchenzahldichte n einer Spezies durch Expansion des Universums und Teilchenwechselwirkung $i_1 + \dots + i_a \leftrightarrow i_{a+1} + \dots + i_n$

$$\dot{n} = - \underbrace{3Hn}_{\text{Expansion d. Universums}} - \int d\mathcal{P}^n (2\pi)^4 \delta^{(4)} \left(\underbrace{\sum_{i=1}^a p_i - \sum_{i=a+1}^n p_i}_{\text{Viererimpulserhaltung}} \right) \left(\underbrace{|\mathcal{M}_{\rightarrow}|^2 \prod_{i=1}^a f_i - |\mathcal{M}_{\leftarrow}|^2 \prod_{i=a+1}^n f_i}_{\text{Rate Hinreaktion - Rückreaktion}} \right) \quad (12)$$

Die Boltzmann-Gleichung

Die dimensionslose Form der Boltzmann-Gleichung

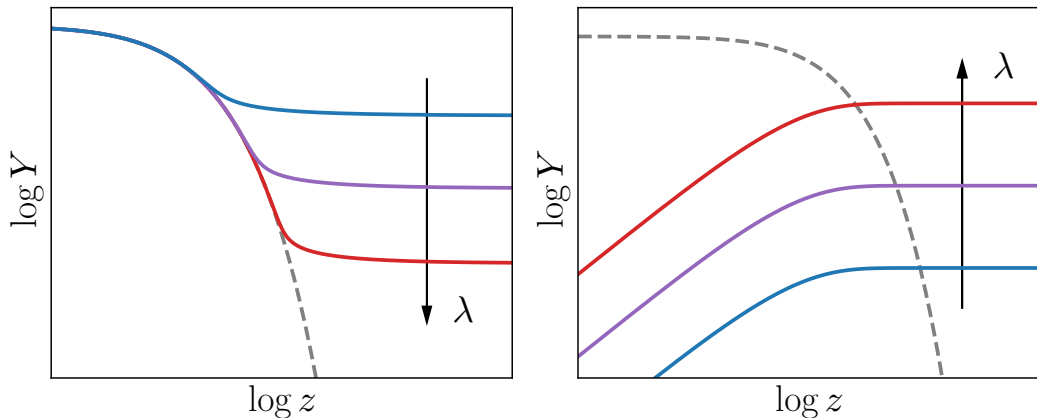
$$\frac{dY}{dz} = -\frac{\gamma^{\text{eq}}}{szH} \left(\prod_{i=1}^a \frac{Y_i}{Y_i^{\text{eq}}} - \prod_{i=a+1}^n \frac{Y_i}{Y_i^{\text{eq}}} \right) \quad (13)$$

durch Annahme von CP-Invarianz und das Einführen von

- Zeitparameter $z \equiv \frac{m}{T}$
- Teilchenzahldichte, normiert auf mitbewegtes Volumen $Y \equiv \frac{n}{s}$
- Raumzeitdichte der Wechselwirkung im thermodynamischen Gleichgewicht

$$\gamma^{\text{eq}} \equiv \int d\mathcal{P}^n (2\pi)^4 \delta^{(4)} \left(\sum_{i=1}^a p_i - \sum_{i=a+1}^n p_i \right) |\mathcal{M}|^2 \prod_{i=1}^a f_i. \quad (14)$$

Vergleich von Freeze-Out und Freeze-In



Freeze-Out (links) und Freeze-In (rechts). Pfeile: Wirkung größerer Kopplungsstärke λ . Grau: Y^{eq} .

Die Boltzmann-Gleichung für den Higgs-Zerfall

- Boltzmann-Gleichung für $h \rightarrow \bar{\nu}N$
- Analytische Lösung
- Numerische Lösung

Aufstellen der dimensionslosen Boltzmann-Gleichung

$$\frac{dY}{dz} = -\frac{\gamma^{\text{eq}}}{szH} \left(\prod_{i=1}^a \frac{Y_i}{Y_i^{\text{eq}}} - \prod_{i=a+1}^n \frac{Y_i}{Y_i^{\text{eq}}} \right) \quad (15)$$

mit

$$\blacksquare Y = Y_h \text{ und } z = z_h \equiv \frac{m_h}{T}$$

$$\blacksquare \frac{\gamma^{\text{eq}}}{s} = \Gamma_h Y_h^{\text{eq}} \frac{K_1(z_h)}{K_2(z_h)}$$

$$\blacksquare \Gamma_h = \frac{y^2 m_h}{8\pi} \left(1 - \frac{m_N^2}{m_h^2} \right)^2$$

$$\blacksquare Y'_h = -Y'_N$$

$$\blacksquare H(z_h) = \sqrt{\frac{8\pi^3}{90} g_{\text{eff}}} \frac{m_h^2}{m_{\text{pl}}} \frac{1}{z_h^2}$$

$$\blacksquare Y_h = Y_h^{\text{eq}} \text{ und } Y_\nu = Y_\nu^{\text{eq}}$$

$$\blacksquare Y_h^{\text{eq}} = \frac{45}{4\pi^4} \frac{g_h}{g_{\text{eff},s}} z_h^2 K_2(z_h)$$

$$\blacksquare Y_N^{\text{eq}} = \frac{45}{4\pi^4} \frac{g_N}{g_{\text{eff},s}} \left(\frac{m_N}{m_h} \right)^2 z_h^2 K_2 \left(\frac{m_N}{m_h} z_h \right)$$

Dimensionslose Boltzmann-Gleichung für Higgs-Zerfall

$$\frac{dY_N}{dz} = \sqrt{\frac{90}{8\pi^3} \frac{45}{32\pi^5} \frac{g_h}{g_{\text{eff},s} \sqrt{g_{\text{eff}}}} \frac{y^2 m_{\text{pl}}}{m_h}} \left(1 - \frac{m_N^2}{m_h^2}\right)^2 z_h^3 K_1(z_h) \times \left[1 - \left(\frac{45}{4\pi^4} \frac{g_N}{g_{\text{eff},s}} \left(\frac{m_N}{m_h}\right)^2 z_h^2 K_2\left(\frac{m_N}{m_h} z_h\right)\right)^{-1} Y_N\right] \quad (16)$$

Analytische Lösung

Betrachte Freeze-In: $Y_N \ll Y_N^{\text{eq}}$ führt zu

$$\frac{dY_N}{dz_h} = \alpha z_h^3 K_1(z_h) \underbrace{\left[1 - \frac{Y_N(z_h)}{Y_N^{\text{eq}}(z_h)} \right]}_{\approx 1} \quad (17)$$

Verwende $Y_N(0) = 0$ und berechne $Y_N^0 \equiv Y_N(z_h \rightarrow \infty)$:

$$Y_N^0 = \alpha \int_0^\infty dx x^3 K_1(x) = \frac{3\pi}{2} \alpha \quad (18)$$

Analytische Lösung

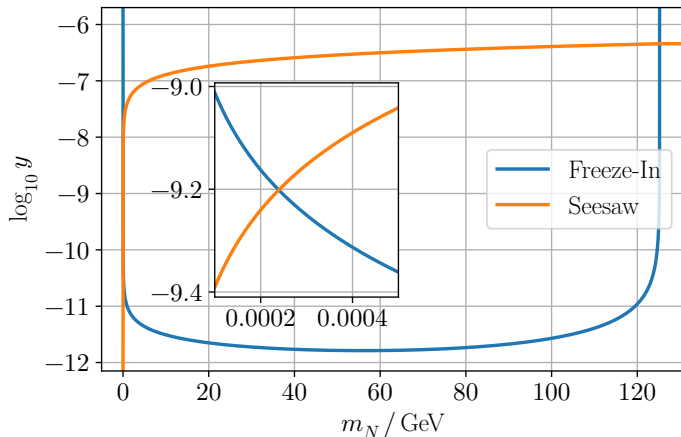
Daraus ergibt sich der Anteil an der Energiedichte des Universums

$$\Omega_N = \frac{1}{4\pi} \sqrt{\frac{90}{8\pi^3}} \frac{g_{\text{eff},s}^0}{g_{\text{eff},s}} \frac{g_h}{\sqrt{g_{\text{eff}}}} \frac{y^2 m_N}{m_h m_{\text{pl}}} \left(1 - \frac{m_N^2}{m_h^2}\right)^2 \frac{T_0^3}{H_0^2} \quad (19)$$

Gleichsetzen mit Ω_{DM} und Umstellen auf y führt auf

$$y_{\text{ana}} = 2 \sqrt{\frac{2}{3}} \sqrt[4]{\frac{\pi^5}{5}} \sqrt{\frac{g_{\text{eff},s}}{g_{\text{eff},s}^0}} \frac{\sqrt[4]{g_{\text{eff}}}}{\sqrt{g_h}} \sqrt{\frac{m_{\text{pl}} m_h^5}{m_N}} \frac{\sqrt{\Omega_{\text{DM}}}}{m_h^2 - m_N^2} \frac{H_0}{\sqrt{T_0^3}} \quad (20)$$

Analytische Lösung



Die Schnittpunkte der Graphen liegen bei

y	m_N
6.3×10^{-10}	239.3 keV
4.5×10^{-7}	125.199 88 GeV

Numerische Lösung

- Minimiere die Differenz $|\Omega_{\text{DM}} - \Omega_N(y)|$ für gegebenes m_N , um $y_{\text{num}}(m_N)$ zu erhalten
- Berechne dabei Ω_N über numerische Lösung von

$$\frac{Y_N}{z_h} \frac{d \log Y_N}{d \log z_h} = \alpha z_h^3 \mathbf{K}_1(z_h) \left[1 - \frac{Y_N}{Y_N^{\text{eq}}} \right] \quad (21)$$

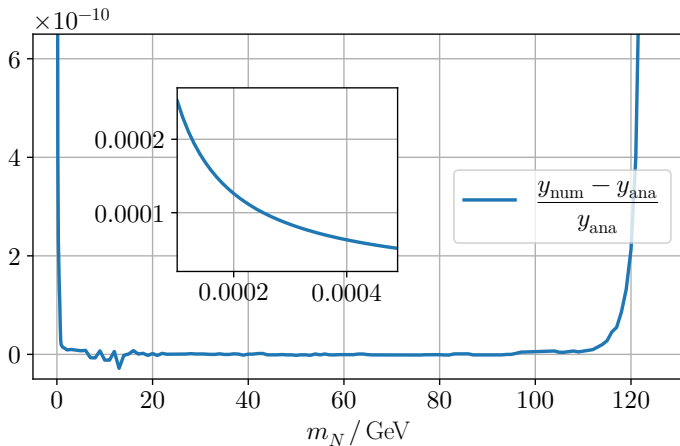
- Suche dann lokale Minima von $|y_{\text{num}}(m_N) - y_{\text{Seesaw}}(m_N)|$

⇒ **Ergebnis praktisch identisch**

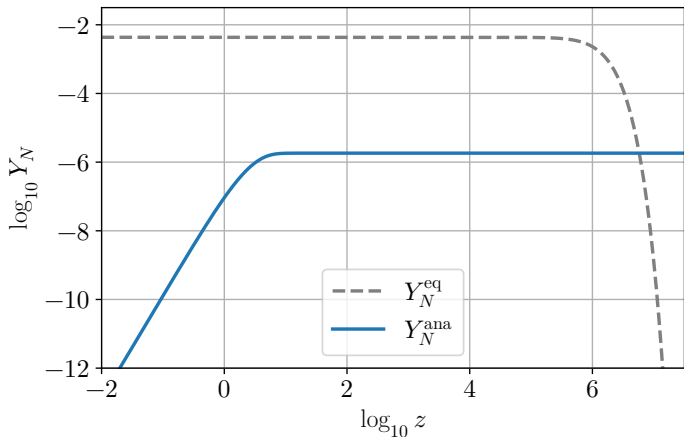
Numerische Lösung

Die relative Abweichung...

- ist $< 10^{-10}$ für $600 \text{ MeV} \lesssim m_N \lesssim 118 \text{ GeV}$
- divergiert an Rändern
- ist an interessanten Stellen aber dennoch im unteren Prozentbereich



Ergebnisse der Rechnungen



y	m_N
6.3×10^{-10}	239.3 keV
4.5×10^{-7}	125.199 88 GeV

- Freeze-In: ✓
- $y \ll 1$
- $Y_N \ll Y_N^{\text{eq}}$

Diskussion der Ergebnisse

- $y \ll 1$? \rightsquigarrow Fundamentalere Theorien?
- Tremaine-Gunn-Schranke: $m_N \gtrsim 0.4 \text{ keV}$: ✓
- Stabilität von N dominiert durch Strahlungszerfall $N \rightarrow \nu\gamma$: ⚡
 - $\tau_1 = 5.5 \times 10^{15} \text{ s}$
 - $\tau_2 = 7.4 \times 10^{-8} \text{ s}$

Das verwendete Modell muss überarbeitet werden!

Alternativen und experimentelle Überprüfung

- Stabilität $\tau \gtrsim t_0$ erfordert kleinere m_N
 - Mögliche Lösung: ein leichtes + mehrere schwere sterile Neutrinos?
 - ↪ Quantitative Erklärung für Neutrinooszillationen?
 - ↪ Erklärung für $\mathcal{L} \rightarrow \mathcal{B}$?

- Beobachtung durch Röntgen-Teleskope, da bei $N \rightarrow \nu\gamma$: $E_\gamma \approx \frac{m_N}{2} = \mathcal{O}(\text{keV})$

Zusammenfassung

- Beide Probleme konnten zunächst durch analytische und numerische Lösung der Boltzmann-Gleichung für $h \rightarrow \bar{\nu}N$ gelöst werden: $m_N = 239.3$ keV oder ca. 120 keV unterhalb der Higgs-Masse.
- Der Strahlungszерfall $N \rightarrow \nu\gamma$ verhindert kosmologische Stabilität von N
- Mögliche Lösung: Mehr sterile Neutrinos?